

机器人学基础

国家级《智能科学基础系列课程教学团队》
“机器人学”课程配套教材 蔡自兴 主编

第3章 机器人运动学 (3)

第3章 机器人运动学

- 3.1 机器人运动方程的表示
- 3.2 连杆参数、连杆坐标系
- 3.3 连杆坐标变换和运动学方程
- 3.4 机器人运动学建模
- 3.5 机器人逆运动学

3.4 机器人运动学建模

机器人运动学方程

$${}^0T_n = {}^0T_1(q_1) \cdot {}^1T_2(q_2) \cdots {}^{n-1}T_n(q_n) = \begin{bmatrix} {}^0R_n & {}^0p_n \\ 0 & 0 & 0 & 1 \end{bmatrix}$$
$${}^0T_n = \begin{bmatrix} {}^0n & {}^0o & {}^0a & {}^0p \\ n_x & o_x & a_x & p_x \\ n_y & o_y & a_y & p_y \\ n_z & o_z & a_z & p_z \\ 0 & 0 & 0 & 1 \end{bmatrix}$$

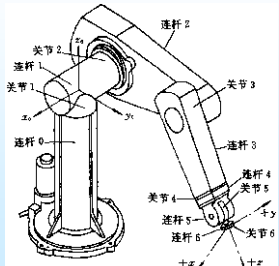
式中，前三列表示末端坐标系相对于参考坐标系的姿态，
第四列表示末端坐标系原点的位置。
表示末端连杆的位姿与关节变量 q_1, q_2, \dots, q_n 之间的关系。

例 PUMA560机器人运动学建模

PUMA系列机器人是串联工业机器人中的典型代表。PUMA机器人是有美国Unimation公司研制开发的一种计算机控制的多关节装配工业机器人，在瑞典和日本也有生产，分为大型、中型和小型三类。每一机型均有腰回转、肩回转和肘回转，构成实现空间位置坐标的三个基本关节轴；手腕回转、摆动和旋转实现三个姿态的自由度，共有6个自由度。

1.基本结构

PUMA 560机器人是关节式机器人，由6个连杆和6个关节组成。手爪与连杆6固接，基座固定。基座称为连杆0，不包含在6个连杆之内。连杆1与基座由关节1相连接；连杆2与连杆1通过关节2相连接，

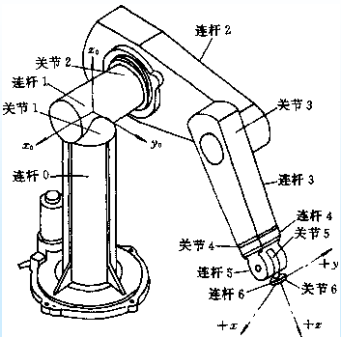


PUMA 560 机器人的连杆与关节示意图

1.基本结构

前3个关节确定手腕参考点的位置，后3个确定手腕的方位。

由于后3个关节轴线交于一点。该点选作手腕的参考点，也是坐标系{4}、{5}、{6}的原点。



1. 基本结构

PUMA560的6个关节都是转动关节(见图3-7a)。关节1的轴线为铅直方向, 关节2和3的轴线水平平行, 距离为 a_2 ; 关节1和2的轴线垂直相交, 关节3和4的轴线垂直交错, 距离为 a_3 。

其中,

$$a_2=431.8\text{mm}$$

$$a_3=20.32\text{mm}$$

$$d_2=149.09\text{mm}$$

$$d_4=433.07\text{mm}$$

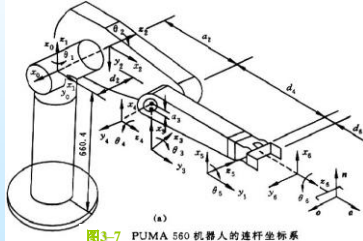


图3-7 PUMA 560 机器人的连杆坐标系

2. 建立连杆坐标系

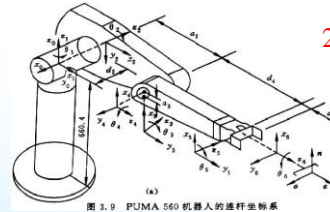


图 3-9 PUMA 560 机器人的连杆坐标系

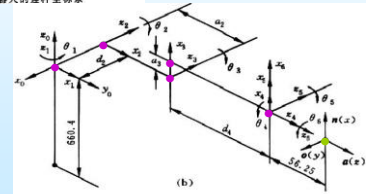


图3-7 PUMA 560 机器人的连杆坐标系

3. 列出连杆参数表

表 3.3 PUMA 560 机器人连杆参数表

连杆 i	变量 θ_i	α_{i-1}	a_{i-1}	d_i	变量范围
1	$\theta_1(90^\circ)$	0°	0	0	$-160^\circ \sim 160^\circ$
2	$\theta_2(0^\circ)$	-90°	0	d_2	$-225^\circ \sim 45^\circ$
3	$\theta_3(-90^\circ)$	0°	a_2	0	$-45^\circ \sim 225^\circ$
4	$\theta_4(0^\circ)$	-90°	a_3	d_4	$-110^\circ \sim 170^\circ$
5	$\theta_5(0^\circ)$	90°	0	0	$-100^\circ \sim 100^\circ$
6	$\theta_6(0^\circ)$	-90°	0	0	$-266^\circ \sim 266^\circ$

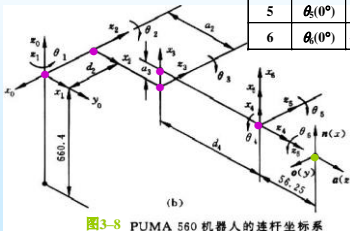


图3-8 PUMA 560 机器人的连杆坐标系

注意: 表中数据是按前置坐标系定义各连杆的参数; 对后置坐标系情况, 上述参数的值是不同的。

4. 计算各连杆的齐次变换矩阵

对前置坐标系情况, 连杆齐次变换矩阵的通式为:

$${}^{i-1}_i\mathbf{T} = \begin{bmatrix} c\theta_i & -s\theta_i & 0 & a_{i-1} \\ s\theta_i c\alpha_{i-1} & c\theta_i c\alpha_{i-1} & -s\alpha_{i-1} & -d_i s\alpha_{i-1} \\ s\theta_i s\alpha_{i-1} & c\theta_i s\alpha_{i-1} & c\alpha_{i-1} & d_i c\alpha_{i-1} \\ 0 & 0 & 0 & 1 \end{bmatrix} \quad (3.13)$$

表 3.3 PUMA 560 机器人连杆参数表

连杆 i	变量 θ_i	α_{i-1}	a_{i-1}	d_i	变量范围
1	$\theta_1(90^\circ)$	0°	0	0	$-160^\circ \sim 160^\circ$
2	$\theta_2(0^\circ)$	-90°	0	d_2	$-225^\circ \sim 45^\circ$
3	$\theta_3(-90^\circ)$	0°	a_2	0	$-45^\circ \sim 225^\circ$
4	$\theta_4(0^\circ)$	-90°	a_3	d_4	$-110^\circ \sim 170^\circ$
5	$\theta_5(0^\circ)$	90°	0	0	$-100^\circ \sim 100^\circ$
6	$\theta_6(0^\circ)$	-90°	0	0	$-266^\circ \sim 266^\circ$

10

4. 计算各连杆的齐次变换矩阵

$${}^0_1\mathbf{T} = \begin{bmatrix} c\theta_1 & -s\theta_1 & 0 & 0 \\ s\theta_1 & c\theta_1 & 0 & 0 \\ 0 & 0 & 1 & 0 \\ 0 & 0 & 0 & 1 \end{bmatrix}$$

$${}^1_2\mathbf{T} = \begin{bmatrix} c\theta_2 & -s\theta_2 & 0 & 0 \\ 0 & 0 & 1 & d_2 \\ -s\theta_2 & -c\theta_2 & 0 & 0 \\ 0 & 0 & 0 & 1 \end{bmatrix}$$

$${}^2_3\mathbf{T} = \begin{bmatrix} c\theta_3 & -s\theta_3 & 0 & a_2 \\ s\theta_3 & c\theta_3 & 0 & 0 \\ 0 & 0 & 1 & 0 \\ 0 & 0 & 0 & 1 \end{bmatrix}$$

$${}^3_4\mathbf{T} = \begin{bmatrix} c\theta_4 & -s\theta_4 & 0 & a_3 \\ 0 & 0 & 1 & d_4 \\ -s\theta_4 & -c\theta_4 & 0 & 0 \\ 0 & 0 & 0 & 1 \end{bmatrix}$$

$${}^4_5\mathbf{T} = \begin{bmatrix} c\theta_5 & -s\theta_5 & 0 & 0 \\ 0 & 0 & -1 & 0 \\ s\theta_5 & c\theta_5 & 0 & 0 \\ 0 & 0 & 0 & 1 \end{bmatrix}$$

$${}^5_6\mathbf{T} = \begin{bmatrix} c\theta_6 & -s\theta_6 & 0 & 0 \\ 0 & 0 & 1 & 0 \\ -s\theta_6 & -c\theta_6 & 0 & 0 \\ 0 & 0 & 0 & 1 \end{bmatrix}$$

11

5. 计算运动学方程:

将各相邻连杆的齐次坐标变换矩阵相乘, 即得到PUMA560机器人的机械臂末端相对于基坐标系的齐次变换矩阵。

$${}^0_6\mathbf{T} = {}^0_1\mathbf{T}(\theta_1) \cdot {}^1_2\mathbf{T}(\theta_2) \cdot {}^2_3\mathbf{T}(\theta_3) \cdot {}^3_4\mathbf{T}(\theta_4) \cdot {}^4_5\mathbf{T}(\theta_5) \cdot {}^5_6\mathbf{T}(\theta_6)$$

它是关节变量 $\theta_i (i=1,2,\dots,6)$ 的函数。

要求解此运动方程, 需先计算某些中间结果:

$${}^4_5\mathbf{T} = {}^4_5\mathbf{T}(\theta_5) \cdot {}^5_6\mathbf{T}(\theta_6) = \begin{bmatrix} c\theta_5 & -s\theta_5 & 0 & 0 \\ 0 & 0 & -1 & 0 \\ s\theta_5 & c\theta_5 & 0 & 0 \\ 0 & 0 & 0 & 1 \end{bmatrix} \begin{bmatrix} c\theta_6 & -s\theta_6 & 0 & 0 \\ 0 & 0 & 1 & 0 \\ -s\theta_6 & -c\theta_6 & 0 & 0 \\ 0 & 0 & 0 & 1 \end{bmatrix}$$

$$= \begin{bmatrix} c_5c_6 & -c_5s_6 & -s_5 & 0 \\ s_5c_6 & c_5 & 0 & 0 \\ s_5s_6 & -s_5c_6 & c_5 & 0 \\ 0 & 0 & 0 & 1 \end{bmatrix}$$

12

同样有:

$${}^3_6\mathbf{T} = {}^3_4\mathbf{T}(\theta_4) \cdot {}^4_6\mathbf{T}(\theta_5, \theta_6) = \begin{bmatrix} c\theta_4 & -s\theta_4 & 0 & a_3 \\ 0 & 0 & 1 & d_4 \\ -s\theta_4 & -c\theta_4 & 0 & 0 \\ 0 & 0 & 0 & 1 \end{bmatrix} \cdot \begin{bmatrix} c_5c_6 & -c_5s_6 & -s_5 & 0 \\ s_5c_6 & c_5 & 0 & 0 \\ s_5s_6 & -s_5c_6 & c_5 & 0 \\ 0 & 0 & 0 & 1 \end{bmatrix}$$

$$= \begin{bmatrix} c_4c_5c_6 - s_4s_6 & -c_4c_5c_6 - s_4c_6 & -c_4s_5 & a_3 \\ s_5s_6 & -s_5s_6 & c_5 & d_4 \\ -s_4s_5s_6 - c_4s_6 & s_4c_5s_6 - c_4c_6 & s_4s_5 & 0 \\ 0 & 0 & 0 & 1 \end{bmatrix}$$

13

由于PUMA560机器人的关节2和关节3相互平行, 把 ${}^1_2\mathbf{T}(\theta_2)$ 和 ${}^2_3\mathbf{T}(\theta_3)$

相乘得:

$${}^1_3\mathbf{T} = {}^1_2\mathbf{T}(\theta_2) \cdot {}^2_3\mathbf{T}(\theta_3) = \begin{bmatrix} c\theta_2 & -s\theta_2 & 0 & 0 \\ 0 & 0 & 1 & d_2 \\ -s\theta_2 & -c\theta_2 & 0 & 0 \\ 0 & 0 & 0 & 1 \end{bmatrix} \cdot \begin{bmatrix} c\theta_3 & -s\theta_3 & 0 & a_2 \\ s\theta_3 & c\theta_3 & 0 & 0 \\ 0 & 0 & 1 & 0 \\ 0 & 0 & 0 & 1 \end{bmatrix}$$

$$= \begin{bmatrix} c_{23} & -s_{23} & 0 & a_2c_2 \\ 0 & 0 & 1 & d_2 \\ -s_{23} & -c_{23} & 0 & -a_2s_2 \\ 0 & 0 & 0 & 1 \end{bmatrix}$$

式中, $c_{23} = \cos(\theta_2 + \theta_3)$, $s_{23} = \sin(\theta_2 + \theta_3)$

即两旋转关节平时, 利用和角公式可得到较简单的表达式。

14

将上面两式相乘得:

$${}^1_6\mathbf{T} = {}^1_3\mathbf{T} \cdot {}^3_6\mathbf{T} = \begin{bmatrix} c_{23} & -s_{23} & 0 & a_2c_2 \\ 0 & 0 & 1 & d_2 \\ -s_{23} & -c_{23} & 0 & -a_2s_2 \\ 0 & 0 & 0 & 1 \end{bmatrix} \cdot \begin{bmatrix} c_4c_5c_6 - s_4s_6 & -c_4c_5c_6 - s_4c_6 & -c_4s_5 & a_3 \\ s_5s_6 & -s_5s_6 & c_5 & d_4 \\ -s_4s_5s_6 - c_4s_6 & s_4c_5s_6 - c_4c_6 & s_4s_5 & 0 \\ 0 & 0 & 0 & 1 \end{bmatrix}$$

$$= \begin{bmatrix} {}^1n_x & {}^1o_x & {}^1a_x & {}^1p_x \\ {}^1n_y & {}^1o_y & {}^1a_y & {}^1p_y \\ {}^1n_z & {}^1o_z & {}^1a_z & {}^1p_z \\ 0 & 0 & 0 & 1 \end{bmatrix}$$

$$\begin{aligned} {}^1n_x &= c_{23}(c_4c_5c_6 - s_4s_6) - s_{23}s_5c_6 \\ {}^1n_y &= -s_{23}(c_4c_5c_6 - s_4s_6) - c_{23}s_5c_6 \\ {}^1n_z &= -s_{23}(c_4c_5c_6 - s_4s_6) - c_{23}s_5c_6 \\ {}^1o_x &= -c_{23}(c_4c_5s_6 + s_4c_6) + s_{23}s_5s_6 \\ {}^1o_y &= s_4c_5s_6 - c_4c_6 \\ {}^1o_z &= s_{23}(c_4c_5s_6 + s_4c_6) + c_{23}s_5s_6 \\ {}^1a_x &= -c_{23}c_4s_5 - s_{23}c_5 \\ {}^1a_y &= s_4s_5 \\ {}^1a_z &= s_{23}c_4s_5 - c_{23}c_5 \\ {}^1p_x &= a_2c_2 + a_3c_{23} - d_2s_{23} \\ {}^1p_y &= d_2 \\ {}^1p_z &= -a_2s_{23} - a_3s_2 - d_2c_{23} \end{aligned}$$

15

PUMA560机器人机械臂的运动学方程为:

$${}^0_6\mathbf{T} = {}^0_1\mathbf{T} \cdot {}^1_6\mathbf{T} = \begin{bmatrix} n_x & o_x & a_x & p_x \\ n_y & o_y & a_y & p_y \\ n_z & o_z & a_z & p_z \\ 0 & 0 & 0 & 1 \end{bmatrix}$$

$$\left. \begin{aligned} n_x &= c_1[c_{23}(c_4c_5c_6 - s_4s_6) - s_{23}s_5c_6] + s_1(s_4c_5c_6 + c_4s_6) \\ n_y &= s_1[c_{23}(c_4c_5c_6 - s_4s_6) - s_{23}s_5c_6] - c_1(s_4c_5c_6 + c_4s_6) \\ n_z &= -s_{23}(c_4c_5c_6 - s_4s_6) - c_{23}s_5c_6 \\ o_x &= c_1[c_{23}(-c_4c_5s_6 - s_4c_6) + s_{23}s_5s_6] + s_1(c_4c_6 - s_4c_5s_6) \\ o_y &= s_1[c_{23}(-c_4c_5s_6 - s_4c_6) - s_{23}s_5s_6] - c_1(c_4c_6 - s_4c_5s_6) \\ o_z &= -s_{23}(-c_4c_5s_6 - s_4c_6) + c_{23}s_5s_6 \\ a_x &= -c_1(c_{23}c_4s_5 + s_{23}c_5) - c_1s_4s_5 \\ a_y &= -s_1(c_{23}c_4s_5 + s_{23}c_5) + c_1s_4s_5 \\ a_z &= s_{23}c_4s_5 - c_{23}c_5 \\ p_x &= c_1[a_2c_2 + a_3c_{23} - d_2s_{23}] - d_2s_1 \\ p_y &= s_1[a_2c_2 + a_3c_{23} - d_2s_{23}] + d_2c_1 \\ p_z &= -a_2s_{23} - a_3s_2 - d_2c_{23} \end{aligned} \right\}$$

描述了末端{6}相对{0}的位姿, 是机械手运动分析和综合的基础。

16

为校核 ${}^0_6\mathbf{T}$ 的正确性, 计算 $\theta_1 = 90^\circ, \theta_2 = 0^\circ, \theta_3 = -90^\circ, \theta_4 = \theta_5 = \theta_6 = 0^\circ$ 时手臂变换矩阵 ${}^0_6\mathbf{T}$ 的值。计算结果为:

$${}^0_6\mathbf{T} = \begin{bmatrix} 0 & 1 & 0 & -d_2 \\ 0 & 0 & 1 & a_2 + d_4 \\ 1 & 0 & 0 & a_3 \\ 0 & 0 & 0 & 1 \end{bmatrix}$$

与图3. 7所示情况完全一样。

17

6. 手爪坐标系

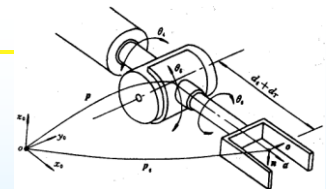


图3.8 手腕结构和手爪坐标系

图3.8是手爪系{T}的规定方法。手爪的三个单位矢量分别为 n 、 o 和 a (代表坐标轴), 位矢 p 代表工具坐标系{T}的原点。

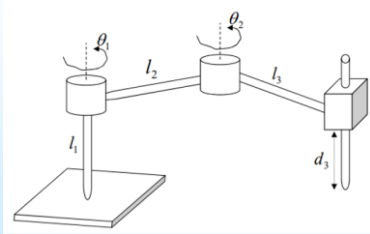
若基系{0}相对工作点{S}的变换为 ${}^0_S\mathbf{T}$, 工具坐标系{T}相对末端连杆{6}的变换为 ${}^6_T\mathbf{T}$, 则{T}相对于{S}的位姿为:

$${}^S_T\mathbf{T} = {}^S_0\mathbf{T} {}^0_6\mathbf{T} {}^6_T\mathbf{T}$$

18

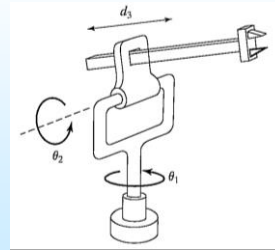
机器人运动学建模举例

例1 3自由度机械臂



19

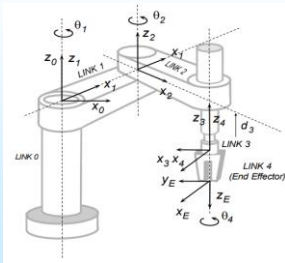
例2 3自由度机械臂



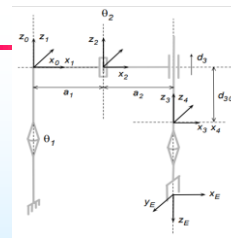
20

机器人运动学建模举例

例3: SCARA机械臂



21



i	a_{i-1}	α_{i-1}	d_i	θ_i
1	0	0	0	θ_1
2	a_1	0	0	θ_2
3	a_2	0	d_3	0
4	0	180	0	θ_4

$${}^0T_1 = \begin{bmatrix} c\theta_1 & -s\theta_1 & 0 & 0 \\ s\theta_1 & c\theta_1 & 0 & 0 \\ 0 & 0 & 1 & 0 \\ 0 & 0 & 0 & 1 \end{bmatrix}$$

$${}^1T_2 = \begin{bmatrix} c\theta_2 & -s\theta_2 & 0 & a_1 \\ s\theta_2 & c\theta_2 & 0 & 0 \\ 0 & 0 & 1 & 0 \\ 0 & 0 & 0 & 1 \end{bmatrix}$$

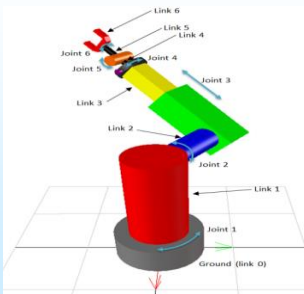
$${}^2T_3 = \begin{bmatrix} 1 & 0 & 0 & a_2 \\ 0 & 1 & 0 & 0 \\ 0 & 0 & 1 & d_3 - d_{30} \\ 0 & 0 & 0 & 1 \end{bmatrix}$$

$${}^3T_4 = \begin{bmatrix} c\theta_4 & -s\theta_4 & 0 & 0 \\ s\theta_4 & c\theta_4 & 0 & 0 \\ 0 & 0 & 1 & 0 \\ 0 & 0 & 0 & 1 \end{bmatrix}$$

22

机器人运动学建模举例

课后作业题



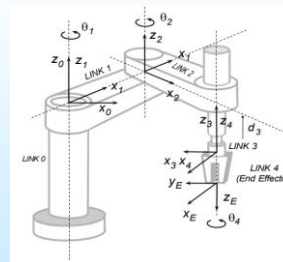
Stanford机械臂

- (1) 教材P60页 3.4题和3.5题
(2) 左图的6自由度机械臂，绘制坐标系，给出连杆参数表。

23

课后作业

SCARA机械臂



- 如图所示的4自由度机械臂，
(1) 绘制坐标系
(2) 给出连杆参数表
(3) 写出连杆齐次坐标变换矩阵
(4) 推导运动学方程

24

